

تقييم اداء التصنيف المراقب المبني على الخلية والمبني على الهدف الجغرافي في تمييز استخدامات الأرض والغطاء الأرضي من المرئيات الفضائية في محافظة الخرج

Assessment of the Performance of Pixel-based and GEOBIA supervised Classification for Extracting IUIC from Satellite Images in Kharj Governorate

إعداد

أمل بنت جزاء بن منصور الاحمدي

Amal Jaza Mansour Al-Ahmadi

طالبة دراسات عليا في قسم الجغرافيا - جامعة الملك سعود

Doi: 10.21608/jasg.2025.443041

استلام البحث : ٢٠٢٥ / ٣ / ١٢

قبول النشر: ٢٠٢٥ / ٥ / ٦

الاحمدي، أمل بنت جزاء بن منصور (٢٠٢٥). تقييم اداء التصنيف المراقب المبني على الخلية والمبني على الهدف الجغرافي في تمييز استخدامات الأرض والغطاء الأرضي من المرئيات الفضائية في محافظة الخرج. **المجلة العربية للدراسات الجغرافية**، المؤسسة العربية للتربية والعلوم والآداب، مصر، ٢٤(٨)، ٣٦ - ١.

<https://jasg.journals.ekb.eg>

تقييم أداء التصنيف المراقب المبني على الخلية والمبني على الهدف الجغرافي في تمييز استخدامات الأرض والغطاء الأرضي من المرئيات الفضائية في محافظة الخرج المستخلص:

لقد أدت التطورات الحديثة في تكنولوجيا الأقمار الصناعية إلى توسيع قدرات الحصول على البيانات بشكل كبير، مما جعل صور الأقمار الصناعية أكثر سهولة في الوصول إليها. وعلى الرغم من هذه الخطوات، فإن تقييم أداء التصنيف لصور الأقمار الصناعية يتطلب تقسيراً فعالاً. وقد شهد تصنيف الصور، وهو أسلوب معتمد على نطاق واسع لاستخراج المعلومات القيمة، زيادة كبيرة في تطبيق منهجيات التعلم الآلي. ومع ذلك، فإن نجاح استخدام أدوات التعلم الآلي الخاضعة للإشراف يعتمد على جودة بيانات التدريب. في هذه الدراسة أستخدم أسلوب تقني حديث يتمثل في مصنف الغابة العشوائية Random Forest الذي يشكل أبرز أدوات التعلم الآلي الخاضعة للإشراف حيث قارنت بين كفاءة التصنيفات القائمة على الخلايا والتصنيفات القائمة على الأهداف الجغرافية في صور الأقمار الصناعية Sentinel-2 لعام ٢٠٢٤م وقد بلغ مؤشر الصحة العامة للحقائق الأرضية على التوالي في التصنيف القائم على الخلية والتصنيف القائم على الهدف ٩٤٪ و ٩٠٪ و ١٠٠٪ لعينات التدريب بينما في عينات التحقق بلغت ٧٩٪ و ٧٨٪ على التوالي، بينما بلغ المتوسط الموزون ٩٥٪ و ٩٠٪ لعينات التدريب بينما بلغ لعينات التتحقق ٧٩٪ و ٧٧٪ على التوالي. أبرزت هذه الدراسة دقة الأداء الفعال للطريقة القائمة على الهدف الجغرافي. يمكن أن تكون هذه النتائج بمثابة مرجع قيم للدراسات المستقبلية لاستخدام الأرض والغطاء الأرضي في المملكة العربية السعودية، مما يساعد في تحسين الدقة مع توفير الوقت والجهد من أجل انتاج قاعدة بيانات جغرافية مكتملة الخصائص الفنية والبيانات المكانية للاستخدام مستقبلاً في مختلف التطبيقات، في ظل عدم وجود تصنيف موحد للمملكة العربية السعودية عدا التصنيف العالمي الذي اقتصر على عدد قلة أقل للمملكة. كما تم انتاج خريطة موضوعية مكتملة العناصر الكاريوجرافية لإبراز التصنيف الأمثل لاستخدام الأرض والغطاء الأرضي لمحافظة الخرج ضمن منطقة الرياض في المملكة العربية السعودية.

الكلمات المفتاحية: التصنيف المبني على الخلية، التصنيف المبني على الهدف، الغابة العشوائية.

Abstract:

Recent advancements in satellite technology have significantly expanded data acquisition capabilities, making satellite imagery more accessible than ever before. Despite these advancements, the evaluation of classification performance for satellite imagery still necessitates effective interpretation techniques. Image classification, a

widely adopted approach for extracting valuable information, has witnessed a notable increase in the application of machine learning methodologies. However, the effectiveness of supervised machine learning tools heavily depends on the quality of the training data in this study, I employed a modern technical approach using the Random Forest classifier, one of the most prominent supervised machine learning algorithms. The study compares the efficiency of pixel-based classification and object-based classification using Sentinel-2 satellite imagery. The Overall Accuracy (OA) for ground truth data in the training samples reached 0.94 for pixel-based classification and 1.00 for object-based classification. For validation samples, the OA values were 0.79 and 0.78, respectively. The Weighted Average Accuracy was 0.95 and 1.00 for the training samples, while for validation samples it reached 0.79 and 0.77, respectively, these accuracy metrics highlight the superior performance of the object-based classification approach. The results can serve as a valuable reference for future land use and land cover (LULC) studies in the Kingdom of Saudi Arabia, contributing to enhanced classification accuracy while reducing the time and effort required to develop a comprehensive geospatial database with full technical specifications and spatial data attributes. This is especially significant given the absence of a standardized national classification system for Saudi Arabia, aside from a generalized global classification scheme with limited category representation for the region Furthermore, a thematic map was produced, incorporating all essential cartographic elements, to illustrate the optimal land use and land cover classification for Al-Kharj Governorate, located within the Riyadh Region of the Kingdom of Saudi Arabia.

المقدمة:

تتطلب الدراسات البيئية والتخطيط الحضري توفر خرائط لاستخدامات الأرض والغطاء الأرضي (Land use land cover, LULC) بصحة عالية وتحديث مستمر نظراً

لطبيعتها المتغيرة خاصة في المناطق التي تشهد تطوراً عمرانياً وزراعياً مضطرب (٢٠٢٢,Sandipta&Dasharatha). وتشكل تقنيات الاستشعار عن بعد وخوارزميات تصنيف المرئيات الفضائية أحد الروافد الأساسية لإنتاج الخرائط المختلفة للظواهر الجغرافية على سطح الأرض مثل خرائط استخدامات الأرض والغطاء الأرضي (LULC) وتحديثها بشكل دوري من المرئيات الفضائية بتكلفة أقل من المسح الميداني خاصة عندما يكون ذلك لمناطق كبيرة. ورغم التطور الهائل لتقنيات الاستشعار عن بعد وخوارزميات معالجتها في العقود الأخيرة، إلا أن صحة خرائط استخدامات الأرض والغطاء الأرضي المشتقة من المرئيات الفضائية يعتمد بشكل كبير على طريقة التصنيف المتبعة (Rawat ٢٠١٥,&Kumar classification) من المرئيات الفضائية الطريقة التقليدية والقياسية لتصنيف المرئيات الفضائية لأغراض إنتاج خرائط استخدامات الأرض والغطاء الأرضي (Hamad ٢٠٢٠،) إلا أن الخرائط المنتجة بالتصنيف المراقب المبني على الخلية تعاني من بعض أوجه القصور التالية:

١. يكون المنتج مشوش بسبب تأثير العديد من خلايا المرئية المصنفة في غير سياقها المفترض وهو ما يعرف بظاهرة الملح والفلفل (salt & pepper phenomenon) وذلك يقلل من قيمة المنتج بهذه الطريقة (Hu at al. ٢٠٢١).
٢. التصنيف المراقب المبني على الخلية يأخذ في الحسبان البيانات الطيفية (spectral) فقط ويتجاهل المعلومات المكانية مثل الشكل والحجم والامتداد وغيرها للظواهر الجغرافية على سطح الأرض والتي ممكن أن تساعد كثيراً في عملية التصنيف وتزيد من صحته ووضع الظواهر الجغرافية في سياقها الصحيح

(congalton & Green, 2019)

ولتغلب على أوجه القصور في تصنيف المرئيات الفضائية بالطريقة التقليدية المبنية على الخلية طورت مؤخراً طريقة أحدث لتصنيف المرئيات الفضائية وتنامي استخدامها في الأوساط العلمية تمثل في اعتماد الهدف الجغرافي بدلاً من الخلية في عملية التصنيف المراقب وهو ما يعرف بالتصنيف المراقب المبني على الهدف الجغرافي (Object-Based Classification Geographic Object-Based Image Analysis, GEOBIA). فطريقة التصنيف هذه تأخذ في الحسبان المعلومات المكانية للظواهر الجغرافية إلى جانب المعلومات الطيفية في عملية تصنيف المرئيات الفضائية مما يجعل الخرائط المشتقة منها أكثر صحة وتمثيلاً للظواهر الجغرافية على سطح الأرض (Blachke, et al. 2014; Chen, et al. ٢٠١٨).

لذلك برزت دراسات في السنوات الأخيرة تقارن بين أداء الطريقة التقليدية للتصنيف البنية على الخلية والطريقة الأحدث للتصنيف المبنية على الهدف الجغرافي للأغراض المختلفة في الأقاليم المختلفة من العالم لتكون دليلاً للباحثين والهيئات المعنية لاختيار طريقة التصنيف الأمثل لموضوع وإقليم الدراسة (Hamad, ٢٠٢٠).

وتأتي هذه الدراسة في هذا السياق من أجل المساهمة في تحديد نوع التصنيف المناسب لإنتاج خرائط استخدامات الأرض والغطاء الأرضي في محافظة الخرج التي تشهد تغيرات متسرعة في استخدامات الأرض نتيجة للتنمية الزراعية وال عمرانية غير المسبوقة في المحافظة لتدعم متذبذبي القرار لرسم خطط التنمية المستدامة للمحافظة.

موضع الدراسة وأهميتها:

تبعد أهمية هذه الدراسة في دعم صناع القرار من أجل المساهمة في اعداد خطط التنمية المستدامة، فهي بحاجة الى تحديد نوع التصنيف المناسب لإنتاج خرائط موضوعية لمنطقة الدراسة، وذلك لأن محافظة الخرج تشهد مؤخراً تنمية متسرعة غير مسبوقة في كافة المجالات، حيث ثُعتبرت هذه الدراسة خطوة مهمة لسد الفجوة التطبيقية والعلمية في تطبيقات الاستشعار عن بعد في دراسة انتاج خرائط موضوعية ذات دقة مناسبة لاستخدامات الأرض والغطاء الأرضي في محافظة الخرج.

مشكلة الدراسة:

تأتي هذه الدراسة لتقدير اداء التصنيف المراقب المبني على الخلية والبني على الهدف الجغرافي في تمييز استخدامات الأرض والغطاء الأرضي من المرئيات الفضائية في البيئة الصحراوية المحلية لمحافظة الخرج لتشكل مرجعاً للدراسات والمشاريع التطبيقية لإنتاج وتحديث خرائط استخدامات الأرض والغطاء الأرضي في اختيار طريقة التصنيف الأفضل لاشتقاق خرائط استخدامات الأرض والغطاء الأرضي من المرئيات الفضائية في هذه المنطقة الحيوية التي تشهد تغيرات متسرعة في استخدامات الأرض والغطاء الأرضي بسبب النمو السكاني والتنمية العمرانية المتسرعة لتكون منتجاتها أكثر موثوقية ودعمًا لعمليات التنمية المستدامة.

اهداف الدراسة:

تهدف هذه الدراسة الى ما يلي:

- تقييم اداء التصنيف المراقب المبني على الخلية والبني على الهدف الجغرافي في تمييز استخدامات الأرض والغطاء الأرضي من المرئيات الفضائية في البيئة الصحراوية المحلية ممثلة بمحافظة الخرج.

- انتاج وتحديث خرائط استخدامات الأرض والغطاء الأرضي في المنطقة من خلال اختيار الطريقة الأمثل لتصنيف المرئيات الفضائية، لتشكل مرجعاً للدراسات والمشاريع التطبيقية.

الدراسات السابقة

أجريت العديد من الدراسات التي تناولت دراسة تقييم أداء المصنف بناء على الخلية والتصنيف بناء على الهدف الجغرافي وتنوعت من حيث الأهداف والتطبيق والمنهجية، ومن ذلك دراسة اكسيوكا واخرون (Xiaoxia et al ٢٠٠٥) التي تناولت الفرق بين نهج التصنيف بناء على الهدف الجغرافي ونهج التصنيف المراقب اعتماد على الخلية، باستخدام مرئية عالية الدقة نوع Quick Bird لمنطقة صغيرة تقع بمدينة شنغيه بالصين ، وقد أظهرت نتائج الدراسة أن التصنيف المبني على الهدف الجغرافي تميزت بخرجانه بانها ذات دقة افضل ، والسبب في ذلك هو خصائص المرئية الفضائية ذات الدقة المكانية العالية.

وتناولت دراسة ايريا وهيجرتين (Araya & Hergarten ٢٠٠٨) عمل المقارنة بين تصنفي الغطاء الأرضي باستخدام التصنيف الهدفي والتصنيف المبني على الخلية في منطقة أسمرا عاصمة إريتريا، لإنشاء خريطة غطاء أرضي المنطقه المحددة باستخدام صور + Landsat ETM بدقة مكانية متوسطة ٣٠ متر سنة ٢٠٠٠ ، وسجل التصنيف المبني على الهدف الجغرافي دقة أعلى بنسبة ٨٥٪، أما دقة التصنيف المبني على الخلية باعتناته بنسبة ٧٨٪. وأكد البحث ان التصنيف الموجه المبني على الهدف الجغرافي له مزايا تتناسب مع المرئيات ذات الدقة المكانية المتوسطة.

وكذلك تناولت دراسة بيلبيسا ومكميرما (Al-Bilbisi & Makhamreh ٢٠١٠) تصنفي الغطاء الأرضي في منطقة البحر الميت بالأردن باستخدام بيانات القمر الصناعي Landsat TM ذو الدقة المكانية المتوسطة البالغة ٣٠ م، وتم التصنيف بناء على الخلية وعلى الهدف الجغرافي، وللتتأكد من مدى صحة التصنيف تم الاعتماد على الخرائط المتوفرة للمنطقة والصور الجوية من نوع aerial photographs والمعرفة الشخصية للمنطقة المدروسة. وخلال عملية تحليل المرئية الفضائية ظهرت مشكلة وحدات الخلية الضوابط المعروفة باسم (ملح وفلفل) في البيانات. مما كان لها تأثير على مدى دقة التصنيف، وأشارت نتيجة التصنيف إلى تصنيف القائم على الخلية قد سجل دقة إجمالية تبلغ ١٦٪ وهي الأعلى مقارنة بالتصنيف المبني على الهدف الجغرافي والذي بلغ الدقة الإجمالية ٧٪، وأكد الدراسة على فعالية التصنيف الهدفي لتحديد حدود الفئات (الظاهر) خاصة بالنسبة لفئة الأرض الزراعية، مما يؤكد ان اختيار نوع التصنيف يعتمد في الأساس على طبيعة أنواع الغطاء الأرضي للمنطقة المراد دراستها. ونستنتج من هذا البحث ان رغم قيمة فرق الدقة بين كلا التصنيف (الخلية والهدف) ليست بكثيرة، الا ان التصنيف المبني على الخلية أكثر كفاءة لتصنيف المرئيات متوسطة الدقة المكانية.

وكذلك دراسة سو واخرون (2011) Soe et al (التي هدفت الى استخدام كلا من التصنيف المبني على الخلية والتصنيف المبني على الهدف الجغرافي لاستخراج الغطاء الأرضي الحضري باستخدام مرئيات فضائية ذات دقة مكانية عالية، حيث استخدم البحث مرئيات فضائية من نوع Quick Bird image لتغطية مركز فونكس بمدينة اريزونا بالولايات المتحدة الامريكية. وأوضح الباحث عدم كفاءة التصنيف المبني المراقب حيث سجل معدل دقة منخفضة باستخدام أكثر من نوع تصنيف وصل متوسط دقتهم إلى ٦٣.٣٪، مما دفع الباحث للبحث عن طريقة تصنيف مختلفة لرفع كفاءة التصنيف. وقام بعمل مقارنة لخمسة اساليب تصنيف مختلفة لمعرفة ايهما أكفاء وأعلى دقة لطبيعة المنطقة الحضرية المختارة ونوع المرئية الفضائية المستخدمة، واستنتج ان استخدام التصنيف المبني على الهدف الجغرافي باستخدام الأساليب التالية (membership functions and the nearest neighbor classifier) أعطت أعلى معدل دقة بلغت ٩٠.٤٪ مقارنة باستخدام اسلوب التصنيف المبني على الخلية المستخدم الذي سجل أقل معدل دقة عن طريق استخدام اسلوب (maximum likelihood) بمعدل دقة وصل الى ٦٧.٦٪. واستنتاج ايضاً ان الطريقة الاكثر فعالية ودقة لتصنيف الغطاء الأرضي للمناطق الحضرية باستخدام الصور عالية الدقة هو التصنيف المبني على الهدف الجغرافي.

وهدفت دراسة زانج وجايا (Zhang & Jia 2014) رسم خريطة لتصنيف الغطاء الأرضي في البيئة القاحلة في منطقة المصب لحوض نهر هيبي في الصين، عن طريق استخدام كل من طرق تحليل الصور القائمة على الخلية والقائمة على الهدف باستخدام مرئيات فضائية عالية الدقة المكانية نوع SPOT-5 ذات الدقة المكانية ٢.٥ متر وبالاعتماد على المسح الميداني. وللوصول لأهداف الدراسة تم حساب مؤشرات الغطاء النباتي واستخدامها خلال عملية التصنيف. وقد رجحت الدراسة ضعف الدقة في تحديد فئة الأرضي العشبية، إلى عدم كفاية العينات المختارة خلال عملية التصنيف في منطقة الدراسة. ومن اهم النتائج التي توصل لها البحث والتي يمكن الاستفادة بها خلال البحث الحالي هو الحرص على أحد عينات كافية لكل فئة خلال عملية التصنيف لما له عائد قوى في مدى دقة التصنيف سواء كان تصنيف مبني على الخلية او الهدف.

وقدم البحث كراكوس واخرون (Karakus et al 2017) مقارنة بين استخدام كلا من طرق التصنيف المعتمدة على الخلية والتصنيف المعتمدة على الهدف الجغرافي لتصنيف الغطاء الأرضي لمنطقة قديري في تركيا، حيث استخدم في البحث صور القمر الصناعي SPOT 5 ذو الدقة المكانية ١٠ كم. ولاحظ الباحث ان التصنيف القائم على الهدف الجغرافي أكثر كفاءة ودقة. وقام الباحث بعمل التصنيف للمرئية، وعند تطبيق طرق التصنيف المختلفة وقياس مدى دقتهم، تم تسجيل أعلى دقة في طريقة التصنيف القائمة على الهدف الجغرافي

بقيمة (دقة ٩٦٪، قيمة kappa ٠.٩٤٩)، أما بالنسبة للطرق المبنية على الخلية كانت اعلاهم هي طريقة تعين الزاوية الطيفية spectral angle mapper method مسجلة (دقة ٩٣.٨٪، قيمة kappa ٠.٧٨).).

وأقامت دراسة ديزاي وأخرون (Dezhi et al ٢٠١٨) برصد التغيرات بغابات المانجروف الطبيعية في منطقة ناشا الواقعة بالصين لرسم الخرائط لغابات المانجروف ومرافقها ديناميكياً، وقد تم استخدام تقنيات الاستشعار عن بعد على نطاق واسع لرسم خرائط لغابات باستخدام مرئيات Landsat بدقة ٣٠ متر، في تصنیف أنواع المانجروف بتطبيق عدة طرق تصنیف تعتمد على الخلية وأخرى تعتمد على الهدف الجغرافي. وقد أظهرت النتائج أن كلا النهجين المبني على الخلية والمبني على الهدف، يمكن أن يتعرف على كيفية التمييز بين أنواع المانجروف الاصطناعية الأربعة الرئيسية، ولكن اثبت التصنیف المبني على الهدف ان لديه دقة إجمالية أفضل من الطريقة المبنية على الخلية خلال عملية تحليل وتصنیف المرئية عالية الدقة المستخدمة.

وتعد دراسة دونق-دونق وأخرون (Dong-dong et al ٢٠١٩) (من الدراسات التي اعتمدت على عمل تصنیف بناء على الخلية والتصنیف بناء على الهدف، وذلك لعمل استقطاع لمناطق العمران عن طريق استخدام مرئيات نوع ٢-GF-2 عالية الدقة لمنطقة تشينهواي بالصين. وكانت الدراسة فعالية التصنیف المعتمد على الهدف للتصنیف الفئات البيئة الحضرية المراد استخراجها، حيث ساعد التصنیف الهدفي على عدم تداخل الفئات، وتحقيق أعلى معدل دقة بين الفئات حيث حقق معدل دقة بلغت ٤٤٪، مما قابلة عدم كفاءة التصنیف المعتمد على الخلية في تحقيق معدل دقة كلي بلغ ٥٦٪٧٨. وهذا يؤكد مدى كفاءة التصنیف الهدفي للصور عالية الدقة.

وهدفت دراسة درفيسوغلو وأخرون (Dervisoglu et al ٢٠٢٠) إلى تحديد الخط الساحلي للأراضي الرطبة ببحيرة اوز والبحيرات المحيطة بها بتركيا، لرصد التغيرات البيئية في المحمية الطبيعية، حيث اعتمد البحث على استخدام صور القر القر الصناعي Sentinel ٢ على الدقة، وقد قام الباحث بالاعتماد على تصنیف الصور باستخدام أساليب التصنیف القائمة على الخلية والقائمة على الهدف. تم دراسة وتقييم إمكانية تطبيق الطرق في تحديد الساحل الضحل للأراضي الرطبة، عن طريق مقارنة نتائج صور التصنیف المعتمدة على الخلية والمعتمد على الهدف. وقد أكد البحث ان التصنیف المبني على الخلية للتصنیف المرئية الفضائية نوع Sentinel ٢ على الدقة كان الأنسب لتصنیف منطقة الدراسة ولطبيعة بيئتها الرطبة وأعطى دقة أعلى وكفاءة أعلى عن التصنیف المبني على الهدف.

وأقامت دراسة جيو وأخرين (Guo et al, 2021) بمراقبة التغيرات في خريطة استخدام الأرضي والغطاء الأرضي في مدينة جوانزو الصينية في الفترة الزمنية بين عامي ١٩٨٦ إلى ٢٠١٨ باستخدام بيانات الاستشعار عن بعد المتمثلة في ثلاثة أنواع من المرئيات

الفضائية (Landsat و Hyperion و Sentinel-2). حيث استخدم صور لاندستات بإصداراتهم المختلفة ذات الدقة المكانية المتوسطة (TM / ETM + / OLI)، بدقة مكانية متوسطة تبلغ ۳۰ متراً، والنوع الثالث هو مركبات Sentinel-2 عالية الدقة تبلغ ۱۰ أمتار وتم إعادة تشكيلها إلى ۳۰ متراً لتتوافق مع بيانات لاندستات.

أكملت الدراسات السابقة على أن التصنيف المبني على الهدف هو منهجة حديثة نسبياً، حيث كانت جميع أساليب التصنيف المراقب مسبقاً كانت تعتمد على قيمة الخلية، ولكن تم تطوير أساليب التصنيف لرفع كفاءة ودقة عمليات التصنيف. وأوضحت الدراسات أن هناك فرق في دقة التصنيف المراقب بين منهجة استخدام التصنيف المبني على الخلية والبني على الهدف، ويعود ذلك إلى عدة أسباب منها مدى الدقة المكانية للصورة المستخدمة.

وختاماً تستخدم الدراسة الحالية أسلوب المقارنة بين التصنيف المبني على الخلية والتصنيف المبني على الهدف الجغرافي، ولكن تتميز عما سبق من الدراسات بأنها سوف تستخدم نوعين من التصنيف باستخدام المرئية لفضائية متعددة الدقة المكانية متمثلة بالقمر الصناعي سيسنال ۲ بدقة ۱۰ متراً، وذلك لعمل المقارنة وتطبيق الخوارزميات المناسبة لأهداف الدراسة، وذلك من أجل توضيح مميزات ومحددات كل منهجة، بالإضافة إلى ذلك سيتم تحديد ماهيّة الفئات المناسبة لاستخدامات الأرض والغطاء الأرضي التي يمكن اشتقاقها من المرئية الفضائية باستخدام كلاً المنهجتين.

الإطار النظري

يعتبر التصنيف من العمليات المعقدة في الاستشعار عن بعد، وذلك لمعالجة الصور؛ سواء كان عن طريق الحاسوب أو التفسير البصري لإنتاج الخرائط الموضوعية (Lillesandm & Chipman ۲۰۱۵). حيث إن لكل ظاهرة على سطح الأرض خصائص طيفية أو نمط طيفي يختلف عن غيره باختلاف خصائصه المكانية والتي بدورها تؤثر على انعكاسية خلايا الصورة في النطاقات المختلفة، ولكي تتم عملية التصنيف يتم الاستعانة بالمعلومات أو الأنماط الطيفية في الصورة متعددة الأطيف كأساس لتقسيم خلايا الصورة حسب فئات الظاهرة قيد الدراسة (Yi Zou, Jonathan ۲۰۱۹).

يستخدم التصنيف في العديد من الدراسات الجغرافية وذلك لما له من أهمية في مجال تحديد فئات الظاهرة محل الدراسة، حيث تشمل الخطوات الرئيسية لتصنيف الصور في الاستشعار عن بعد ما يلي: تحديد نظام التصنيف المناسب، و اختيار عينات التدريب، والمعالجة المسبقة للصور، واستخراج الميزات، و اختيار أساليب التصنيف المناسبة، ومعالجة ما بعد التصنيف، وتقييم الدقة (Rawat & Kumar ۲۰۱۵). تعد حاجة المستخدم، وحجم منطقة الدراسة، والحالة الاقتصادية، ومهارات المحلل من العوامل المهمة التي تؤثر

على اختيار البيانات المستشرعة عن بعد، وتصميم إجراءات التصنيف، ونوعية نتائج التصنيف (Blaschke et al, ٢٠١٤).

تعد دراسات استخدام الأرض والغطاء الأرضي من ابرز الدراسات الجغرافية التي تستخدم التصنيف في انتاج الخرائط وتحقيق اهداف الدراسة ، حيث تلعب خرائط استخدام الأرض والغطاء الأرضي (Land use land cover, LULC) دوراً مهماً ورئيسياً في تحطيط وإدارة ورصد برامج التنمية على المستويات المحلية والإقليمية والوطنية حيث يعتمد نمو المجتمع كلياً على تطوره الاجتماعي والاقتصادي (Sandipta & Dasharatha, 2022) ، ولذلك لابد من تصنيف استخدام الأرضي والغطاء الأرضي على مدى فترة من الزمن، من أجل تحقيق التنمية الحضرية المستدامة والتحقق من التطور العشوائي للبلدات والمدن، لمعرفة أفضل الجوانب لهذه الاستخدامات، وذلك لأهميتها في تشكيل السياسات والبرامج المطلوبة للتخطيط التنموي (congalton & Green, 2019).

على الرغم من ضرورة وجود نظام تصنيف موحد للأقاليم المتشابهة، لم يتم قبول أي تصنيف من التصنيفات الحالية دوليا دون ان يتم عليه بعض التعديلات ليتوافق مع جغرافية المنطقة، وكثيراً ما تكون فئات الغطاء الأرضي واستخدامات الأرض غير مناسبة لأغراض معينة، فإن هذا يتربّع عليه وجود مشاكل في أنظمة التصنيف العالمية عند تطبيقها على مناطق أخرى وضرورة إيجاد تصنيف يتناسب مع منطقة الدراسة المحلية (Duhamel, 1995). واعتمدت هذه الدراسة على نظام تصنيف الأمم المتحدة (FAO).

منطقة الدراسة:

تقع محافظة الخرج في وسط المملكة العربية السعودية بين دائريتي عرض (٢٣°٠٦'ـ ٢٣°١٠'ـ) شمال خط الاستواء وبين خط طول (٣٧°٣١'ـ ٣٩°٤٦'ـ) شرق خط جرينتش (الشكل رقم ١) وتبلغ مساحة محافظة الخرج حوالي (١١٦٤ كم^٢) تمثل (٢٩٪) من إجمالي مساحة منطقة الرياض التي تقدر بحوالي (٣٧٤٣٤٠ كم^٢) (بلدية محافظة الخرج، ٢٠٢٢).

وبلغ عدد سكانها حوالي (٣٧٣,١٧٧) نسمة، حسب تعداد السعودية ٢٠٢٢ (الهيئة العامة للإحصاء، ٢٠٢٤)، ومن الناحية الإدارية يتبع إقليم الخرج منطقة الرياض إدارياً، حيث يحده من الشمال الرياض ومن الغرب محافظة الدلم ومحافظة المزاحمية ومحافظة الحرث، ومن الجنوب الغربي محافظة حوطة بنى تميم، ومن الجنوب محافظة الأفلاج، ومن الشرق المنطقة الشرقية. ويشمل الإقليم الجزء الأكبر من الحوض الأعلى لوادي السهام والذي تصب فيه الأودية التي تصريف المنحدر الخلفي لجبال طويق الرسوبيّة الوعرة. كما يحتل النطاق الحضري والريفي للإقليم الجزء الأكبر من هذا الحوض وبالتحديد في المنطقة السهلية (سهل الخرج) المحصورة ما بين الحافة الشرقية المرتفعات جبال عليه غرباً حتى

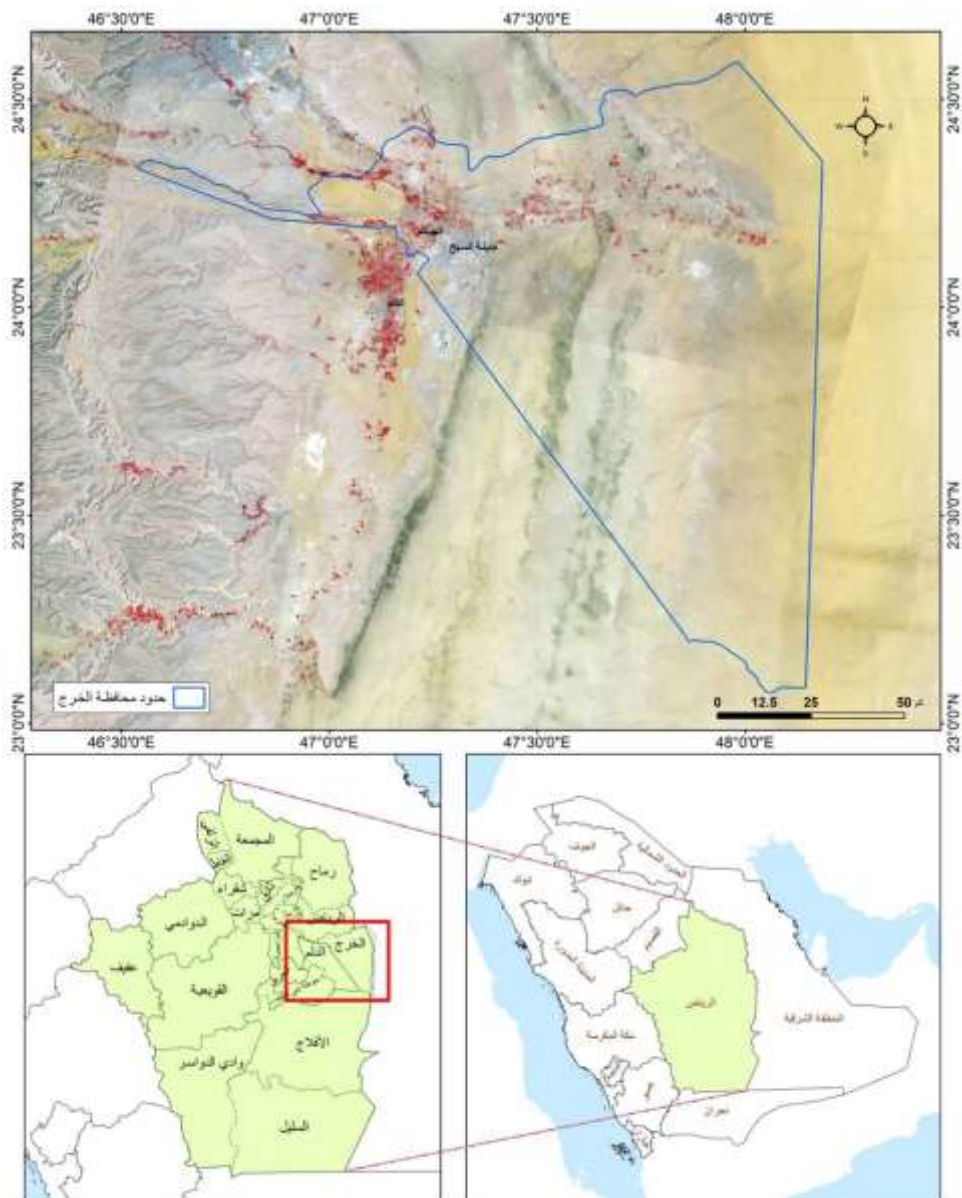
السهباء شرقاً ومن جبال مغرة شمالياً وحتى مرتفعات القصيعة جنوباً (الجعدي، ٢٠١٩)، وتد مدينة السبع عاصمة الخرج الحديثة ومركزها الإداري والاقتصادي.

وتقع محافظة الخرج بشكل كامل ضمن حدود الرف العربي لذا فإن التتابع الطبقي للتكونيات الرسوبيّة من الغرب إلى الشرق هو السمة الغالبة على الخريطة الجيولوجية. وتحتوي المحافظة على عدد من المنكشفات الرسوبيّة مثل حافة العرمة وحافة الجبيل. وتنتشر صخور العصر الجوراسي الاعلى الكربونية في معظم الجزء الغربي، بينما تحل صخور العصر الكريتاسي معظم منطقة الوسط، وصخور عصر البالوسيين على الجزء الشرقي للمحافظة. ويقطع هذه التكونيات ما يعرف بسهل الخرج الذي يمثل منخفضاً تكتونياً بسبب وجود كتل جبلية تظهر على جانبي السهل وترجع لنفس هذه التكونيات (الجعدي، ٢٠١٩).

وتجمع رواسب الأودية في منطقة وادي السهباء شمال شرق مدينة الخرج والمناطق المحيطة بمدينتي (الهياط والدلم) مكونةً التربة الصالحة للزراعة حيث تتركز المناطق الزراعية، كما تتركز معظم التجمعات العمرانية بالمحافظة حول هذه المنطقة حيث توجد الأراضي الصالحة للزراعة وتتوافر المياه الجوفية.

يلعب المناخ دوراً بارزاً وتأثيراً واضحاً على الخصائص البيئية للإقليم من تربة ونباتات ومصادر المياه بالإضافة إلى انشطة الإنسان من زراعة ورعى وغيرها. فالموقع الفلكي والجغرافي لإقليم الخرج في وسط المملكة العربية السعودية وبعدها عن المسطحات المائية يجعلها ضمن النطاق المداري الحار الجاف الذي يغلب عليه المناخ القاري المعروف بشدة الحرارة صيفاً والبرودة شتاء، كما يلعب الموقع الفلكي دوراً مهما في تحديد زاوية سقوط أشعة الشمس والمسافة التي تقطعها الأشعة في رحلتها إلى الأرض ولذلك تتأثر المنطقة بالتقليبات الحرارية التي تحدث بين فصل وآخر. كما أن وقوع إقليم الخرج وسط المملكة يجعله ضمن نطاق الضغط الجوي المرتفع شبه المداري، الذي يؤدي إلى سيادة هبوب الرياح التجارية الشمالية الشرقية الجافة، التي تجعل أيام الشتاء ذات طقس مستقر بارد يضعف مع بداية فصل الربيع ويتلاشى في فصل الصيف.

اما امطار محافظة الخرج فهي متذبذبة وغير منتظمة، تتراكم عادة بشكل فجائي وبزخات شديدة ومتباينة الكمية في المكان والزمان كما هو حال الأقاليم الجافة، ولذلك يعد إقليم الخرج من أبرز الأقاليم في وسط المملكة التي يوجد بها تنوع نباتي جيد تبعاً لسيطرة البيئة السهلية على أكثر مناطق الإقليم.



منهجية البحث:

تعتمد هذه الدراسة على المنهج التحليل الكمي باستخدام الطرق التجريبية الكمية، لاستيقاظ نوع الغطاء الأرضي في محافظة الخرج بخوارزميات تعلم الآلة من مرئيات القمر الصناعي Sentinel ٢ بناء على الحقائق الأرضية ومن ثم تقييم أداء التصنيف باستخدام التصنيف المبني على الخلية والبني على الهدف الجغرافي واستخدام الطريقة الأمثل، لإنتاج وتحديث خرائط موضوعية لاستخدامات الأرض والغطاء الأرضي في محافظة الخرج.

تعتمد هذه الدراسة على تصنیف World Cover لتصنیف الغطاء الأرضي لمنظمة الأغذیة والزراعة التابعة للأمم المتحدة (Food and Agriculture Organization of the United Nations (FAO))، حيث ان هذا التصنیف يتوافق في كثير من نقاطه مع نظام الحساب العالمي (SNA System of National Accounts) معلوماتي عالمي، ويعتبر هذا التصنیف مناً وبسيط الفهم وذلك لوجود تواافق بين تصنیف الغطاء الأرضي واستخدامات الأرض، ويمكن اسقاط المتغيرات عند اعتماد أحد التصنیفين ، ويتيح هذا التصنیف ايضاً إمكانية تجميع البيانات على مستويات مختلفة من خلل وحدات رسم الخرائط ، حيث يتم من خلاله تحليل اثر النشاطات البشرية المختلفة في الأرض وذلك لتلبية احتياجات المستخدمين ، عن طريق الاعتماد على نظام تصنیف الغطاء الأرضي العالمي World Cover وذلك لتصنیف عینات التدريب والحقائق الأرضية جدول رقم (١) لما له اهميه التغلب على جمود التصنیفات السابقة للغطاء الأرضي ، حيث كانت لا تسمح بسهولة تخصیص الفئات المحددة . ويدع هذا التصنیف من التصنیفات الهرمية حيث ان كل ما زاد عدد المصنفات المستخدمة، زادت تفاصیل فئة الغطاء الأرضي المحددة حيث ان جميع الفئات المستمدۃ من نظام التصنیف المقترن فریدة ولا يوجد بها لبس وذلك بسبب الاندماج الداخلي والوصف المنهجي للفئات.

وتم اقتراح استخدام الفئات المستخدمة في التصنیف العالمي World Cover مع بعض التعديل ليتلاءم مع منطقة الدراسة جدول رقم (١)

جدول رقم (١) فئات التصنیف المستخدمة في الدراسة

Land cover class	الفئة	م
Bare/sparse vegetation	أراضي جرداء	1
Cropland	حقول زراعية	2
Buit-up	أراضي مبنية (المباني والطرق)	3
Permanent water bodies	مياه دائمة	4
Tree cover	أشجار	5
Herbaceous wetland	أعشاب غడقة	6

البيانات المستخدمة:

اعتمدت الدراسة على عدد من البيانات مختلفة المصدر تتمثل في التالي:

١- المرئيات الفضائية

تم الحصول على المرئية الفضائية متعددة الأطيف ملقطة بواسطة القمر الصناعي الأوروبي Sentinel-2 وبوضوح مكاني ١٠ متر جدول (٢)، من الموقع الإلكتروني Copernicus data space ecosystem، تجدر الإشارة ان المرئية المستند عليها في هذه الدراسة ملقطه خلال الفترة من ١٠ ابريل الى ١٠ مايو من عام ٢٠٢٤م، وذلك لضمان خلو البيانات من تأثير الغيوم والسحب التي بدورها تساهمن في تقليل جودة المرئية الفضائية، وكذلك لرصد الحقول الزراعية قبل موسم الحصاد في شهر مايو. وتم اختيار القمر الصناعي Sentinel-2 لعدة أسباب لعل من أبرزها هي مهام تصوير أوروبية واسعة النطاق وعالية الدقة ومتعددة الأطيف. حيث تم تصميم مواصفات المهمة الكاملة للأقمار الصناعية التوأم التي تحلق في نفس المدار، ولكن على مراحل عند ١٨٠ درجة، لإعطاء تردد إعادة زiarة عالي لمدة ٥ أيام عند خط الاستواء. ويحمل Sentinel-2 أدوات مسح بصريّة تأخذ عينات من ١٣ نطاقاً طيفياً: أربع نطاقات على بعد ١٠ متر، وستة نطاقات على بعد ٢٠ متر، وثلاثة نطاقات بدقة مكانيّة تبلغ ٦٠ مترًا. بحيث تبلغ عرض الرقعة المدارية ٢٩٠ كم (<https://sentiwiki.copernicus.eu/web/s2-mission>).

٢- قاعدة بيانات جغرافية لحدود محافظه الخرج الرسمية من بلدية محافظة الخرج: وتشمل حدود منطقة الخرج الرسمية المعتمدة من هيئة تطوير مدينة الرياض لعام ١٤٤٥هـ.

الحقائق الأرضية:

تعتمد دراسة تقييم اداء التصنيف المراقب على عينات التدريب Training area التي تمثل موقع يتم فيها تحديد نوع الغطاء الأرضي ميدانياً، او من خلال الأدوات المساعدة الأخرى كالخرائط الطبوغرافية أو المرئيات الفضائية عالية الدقة (العمان، ٢٠١٢)، وذلك لتدريب خوارزمية التصنيف لاشتقاق فئات الغطاء الأرضي، وتم توزيع العينات توزيعاً عادلاً، لتغطي منطقة الدراسة وتستوفي جميع فئات التصنيف، وبلغ عدد عينات الحقائق الأرضية ٧٤٥ عينة. وتم اخذ العينات على النحو التالي: بلغ عدد العينات عن طريق التحليل البصري لمりئيات فضائية عالية الدقة ((Google Earth)) ما مجموعه ٧٤٥ عينة، كما هو متبع في بعض الابحاث كدراسة دونق-دونق وآخرون (٢٠١٩,Dong-dong et al) (وهي من الدراسات التي اعتمدت على عمل تصنیف بناء على الخلية والتصنیف بناء على الهدف لمنطقة تشينهواي بالصین، ودراسة مینغ وآخرون (٢٠١٦,.ming et al) لتصنیف الغطاء الأرضی في منطقة تشانغ بينغ شمال غربی مدينة بكین، وكذلك دراسة الدوسری (الدوسری، ٢٠٢٢) والتي اعتمدت على التصنیف المبني على الهدف في استخلاص السباخ في السهل الساحلي شرقی المملكة العربية السعودية .وكذلك تم اخذ ٥٠ عينة عشوائیة ميدانياً

تحقيق اداء التصنيف المراقب المبني على الخلية والبني على الهدف الجغرافي في تمييز ...، أمل الأحمر

من خلال استخدام GPS ، وقد تم اختيار ٧٠٪ من العينات عشوائياً، لتدريب خوارزمية Algorithm Training، بينما استخدمت ٣٠٪ من العينات للتحقق من صحة التصنيف .Validation

جدول (٢) الخصائص الطيفية للنطاقات المستخدمة في الدراسة

ال الموضوع المكاني	الاستخدام	النطاق	طول الموجة (نانومتر)	النطاق
60	يفيد في دراسة المياه الضحلة	أزرق (الساحل)	433-453	1
10	يفيد في دراسة مياه السدود والتمييز بين أنواع التربة والغطاء النباتي بالإضافة إلى الدراسات الحضرية	الأزرق (المريئي)	458-523	2
10	يفيد في دراسة صحة النبات وكذلك المسطحات المائية ودرجة امتصاص الكلوروفيل، والظاهرات على اختلاف أنواعها	الأخضر (المريئي)	543-578	3
10	يفيد في تمييز الغطاء النباتي وتحديد طبيعة المياه والتربة وتمييز الرطوبة.	الأحمر (المريئي)	650-680	4
20	يفيد في تحديد الغطاء النباتي، ورطوبة التربة وتمييز بين الأراضي الرطبة والجافة وكذلك يستخدم في الدراسات الحضرية..	الأشعة تحت الحمراء القريبة (VNIR)	698-713	5
20			733-748	6
20			773-793	7
20			785-900	8
20			855-875	٩
60	يساعد في تحديد رطوبة محتوى التربة والكشف عن المعادن، وتمييز أنواع المعادن والصخور.	الأشعة تحت الحمراء قصيرة الموجة (SWIR)	935-955	9
60			1360-1390	10
20			1565-1655	11
20			2100-2280	12

المعالجة الرقمية:

تمر المعالجة الرقمية لتصنيف المرئيات الفضائية بثلاث مراحل، المعالجة الأولية ومن ثم المعالجة الرئيسية المتمثلة في تصنیف المرئية وأخيراً المعالجة الثانوية لتحسين الناتج من عملية التصنيف، ويمكن تناولها بالفصیل كما يلي:

اولاً: المعالجة الأولية للمرئيات الفضائية: pre-processing

١- فحص جودة المرئية: قبل الشروع في عمليات المعالجة والتحليل لابد من التأكد من سلامه المرئيات الفضائية من العيوب التقنية عند الالتقاط ومن العوائق الجوية مثل

- الغبار والسحب، وتم ذلك عن طريق فحص المرئية الفضائية بصرياً بالإضافة لفحص ملف البيانات المرفق بالمرئية (Metadata)، وذلك لتسهيل التعرف على المظاهر الطبيعية والبشرية المختلفة لمنطقة الدراسة والتفريق بينها ومن ثم تفسيرها.
- ٢- تحويل قيم المرئية من خلال قسمة القيم على ١٠ الاف بحيث تصبح قيم المرئية مماثلة لانعكاسية الأشعة على سطح الأرض surface reflectance .
- ٣- مصفوفة المرئيات (دمج المرئيات) Image Mosaic: هي عملية دمج مجموعة من المرئيات الفضائية المجاورة مكانيًا ضمن صورة واحدة متكاملة تغطي مساحة جغرافية واسعة، مع الحفاظ على التفاصيل الطيفي والمكاني في المرئية الأصلية، وذلك من أجل إنشاء مرئية فضائية موحدة ذات دقة مكانية وزمانية متجانسة (Lillesand et al, ٢٠١٥). ونظراً لاتساع مساحة منطقة الدراسة وتغطيتها بـ ٩ مرئيات فضائية أجريت عملية مصفوفة المرئيات Image Mosaic؛ لتمثيل منطقة الدراسة بمرئية واحدة، وتمت هذه العملية باستخدام أداة Mosaic to New Raster ضمن برنامج ArcGIS .
- ٤-Subset: تمت عملية الاقطاع بالاستناد إلى حدود منطقة الدراسة، من خلال استخدام أداة Extract by Mask أحدى أدوات برنامج ArcGIS ١٠.٨، وتقيد هذه العملية في اختصار الوقت المستغرق في العمليات اللاحقة من معالجة وتحليل ونحوه، فضلاً عن أهميتها في تقليل حجم الذاكرة في جهاز الكمبيوتر.
- ٥- المؤشرات الطيفية: تم اشتقاق المؤشرات الطيفية لتسهيل تعرف المصنف على فئات استخدامات الأرض والغطاء الأرضي في المحافظة وتشمل المؤشرات التالية:
١. مؤشر النبات الفارقي المعياري (Normalized difference vegetation index-NDVI):
$$NDVI = \frac{NIR-R}{NIR+R}$$
 حيث إن: $NDVI = \text{مؤشر النبات الفارقي المعياري}$
 $NIR = \text{انعكاسية الأشعة في نطاق الأشعة تحت الحمراء القريبة Near Infrared}$
 $R = \text{انعكاسية الأشعة في نطاق الأشعة الحمراء}$
٢. مؤشر المناطق المبنية (الفارق المعياري) Normalized Difference Built-up Index (NDBI):
$$NDBI = \frac{SWIR-NIR}{SWIR+NIR}$$
 حيث إن:

تحقيق إداء التصنيف المراقب المبني على الخلية والبني على الهدف الجغرافي في تمييز ...، أمل الأحمر

NDBI = مؤشر المناطق المبنية

SWIR = انعكاسية الأشعة في نطاق الأشعة تحت الحمراء القصيرة

٣. مؤشر

المياه الفارقى (Normalized Difference Water Index (NDWI): ويتم حسابه كما يلى:

$$NDWI = \frac{Green - NIR}{Green + NIR}$$

حيث إن:

NDWI = المؤشر الفارقى المعياري للمياه.

Green = قيمة الانعكاس الطيفي في النطاق الأخضر المرئى.

و تركيب النطاقات(دمج النطاقات): Band Stacking: في هذه المرحلة تم تركيب النطاقات؛ وذلك من أجل الحصول على مرئية واحدة تضم الطبقات التالية (الأطياف المرئية والأشعة الحمراء القريبة والقصيرة، والمؤشرات الطيفية)؛ لتسهيل عمليات المعالجة اللاحقة، وقد تم تجميع النطاقات بالاعتماد على برنامج ArcGIS ١٠.٨ و ذلك من خلال أداة Composite Bands، وبذلك أصبحت المرئية التي تم تطبيق التصنيف مكونة من ٨ نطاقات كما في جدول رقم (٣).

جدول (٣) النطاقات المركبة

النطاقات
النطاق ١ المرئي (الأزرق) Blue
النطاق ٢ المرئي (الأخضر) Green
النطاق ٣ المرئي (الأحمر) Red
النطاق ٥ تحت الحمراء القريبة NIR
النطاق ٦ تحت الحمراء القصيرة SWIR
طبقة مؤشر النبات الفارقى المعياري (NDVI) Normalized Difference Vegetation
طبقة مؤشر المباني الفارقى المعياري (NDBI) Normalized Difference Built-up Index
طبقة مؤشر المياه الفارقى المعياري (NDWI) Normalized Difference Water Index

المعالجة الرقمية للمرئيات الفضائية :Digital Image Processing

تعد عملية التصنيف احدى العمليات ذات الأهمية في الاستشعار عن بعد، ونظراً لهذه الأهمية تم تطوير مناهج وطرق مختلفة صُنفت إلى ثلاثة فئات، واستخدمت هي وما تشتمل عليه من أساليب وخوارزميات على نطاق واسع؛ لإنتاج خرائط الغطاء الأرضي واستخدامات الأرض (Al-doski et al., ٢٠١٣).

ومن خلال هذه الدراسة تم المقارنة بين فئتين من فئات التصنيف الموجه وهي كما يلي:

أ- التصنيف الموجه المبني على الخلية: Pixel-Based Classification

يعتبر التصنيف الموجه المبني على الخلية (Pixel-Based Classification) أحد أساليب التصنيف الشائعة في تحليل الصور الفضائية. في هذا النوع من التصنيف، يتم تصنیف كل بكسل في الصورة بناءً على قيم البيانات الطيفية لها، ويتم ذلك عن طريق اعداد البيانات Data Preparation باستخدام برنامج ArcGIS Pro حيث يتم استيراد البيانات للمرئية الفضائية للقمر الصناعي Sentinel ٢-Sentinel ٢، والتي تشتمل على جميع الطبقات (النطاق المرئي والأشعة تحت الحمراء القريبة والقصيرة) والمؤشرات (الغطاء النباتي والمباني والمياه). وبعد التأكيد من جاهزية البيانات، وعينات التتحقق -من خلال تحديد المناطق التي تمثل كل فئة من فئات الغطاء الأرضي-، والتأكد من اختيار عينات تمثل جميع الأنماط الطيفية لكل فئة لضمان دقة التصنيف. حيث تم اختيار أداة التصنيف (تصنيف الأشجار العشوائية) Random Trees Classification، شكل رقم (٢) وشكل (٣) ومن ثم تتم عملية التصنيف Classifying the Image وتحليل النتائج Analyzing Results باستخدام أدوات التحليل المكاني لمراجعة النتائج والتأكيد من دقتها واستخدام مصفوفة Confusion Matrix لمقارنة النتائج مع البيانات المرجعية Ground Truth Data) ثم حساب مؤشرات دقة التصنيف. ويلي ذلك عملية تحسين التصنيف Refining the Classification بعد مراجعة التصنيف إذا كان هناك أخطاء يمكن تحسينها عن طريق إضافة عينات تدريب لتحسين تمثيل الفئات وزيادة عدد الفئات للحصول على دقة أفضل في الفصل بين فئات التصنيف. وأخيراً يتم تصدير النتائج Exporting Results كملف Shapefile لاستخدامه في التطبيقات المختلفة لنظم المعلومات الجغرافية.

ب- تقسيم المرئيات الفضائية إلى أهداف جغرافية Image segmentation

تشكل عملية تقسيم المرئية image segmentation إلى أهداف image objects حجر الأساس للتصنيف المراقب للمرئيات الفضائية المبني على الهدف الجغرافي object-based classification لأن صحة التصنيف المراقب المبني على الهدف الجغرافي يعتمد على مدى توافق الأهداف المنتجة في عملية التقسيم مع الأهداف الجغرافية الحقيقة على الأرض (Blaschke, ٢٠١٠)، لدرجة أن التصنيف المراقب للمرئيات الفضائية المبني على الهدف الجغرافي يفقد ميزته القضائية على التصنيف المراقب للمرئيات الفضائية المبني

على الخلية إذا كانت الأهداف المنتجة في عملية التقسيم لا تتوافق بشكل جيد مع الأهداف الجغرافية الحقيقة على الأرض (Blaschke, ٢٠١٠)، حيث تعتمد هذه العملية على تقنيات تحليل الصور الرقمية لنقسيم المرئية إلى مناطق متجانسة بناءً على خصائصها الطيفية والمكانية.

ج- التحقق من صحة التصنيف classification accuracy assessment

بعد التتحقق من صحة التصنيف أحد الركائز الأساسية لعملية إنتاج خرائط استخدامات الأرض والغطاء الأرضي بالتصنيف المراقب للمرئيات الفضائية، وسيستخدم لذلك نموذج الغابة العشوائية المعاير على عينات التدريب لتصنيف عينات التحقق وإنتاج مصفوفة الخطأ confusion matrix من فئات استخدامات الأرض والغطاء الأرضي الملاحظة في عينات التحقق مقابل فئات استخدامات الأرض والغطاء الأرضي المقدرة بالنموذج المعاير الشكل رقم (٢) لكل من التصنيف على مستوى الخلية والتصنیف على مستوى الهدف الجغرافي، ومن ثم حساب مؤشرات صحة التصنیف التالية:

$$\text{Precision} = \text{TP}/(\text{TP} + \text{FP}).$$

$$\text{Recall} = \text{TP}/(\text{TP} + \text{FN}).$$

$$\text{F-score} = 2(\text{precision} \times \text{recall})/(\text{precision} + \text{recall})$$

د- تصنيف المرئية الفضائية

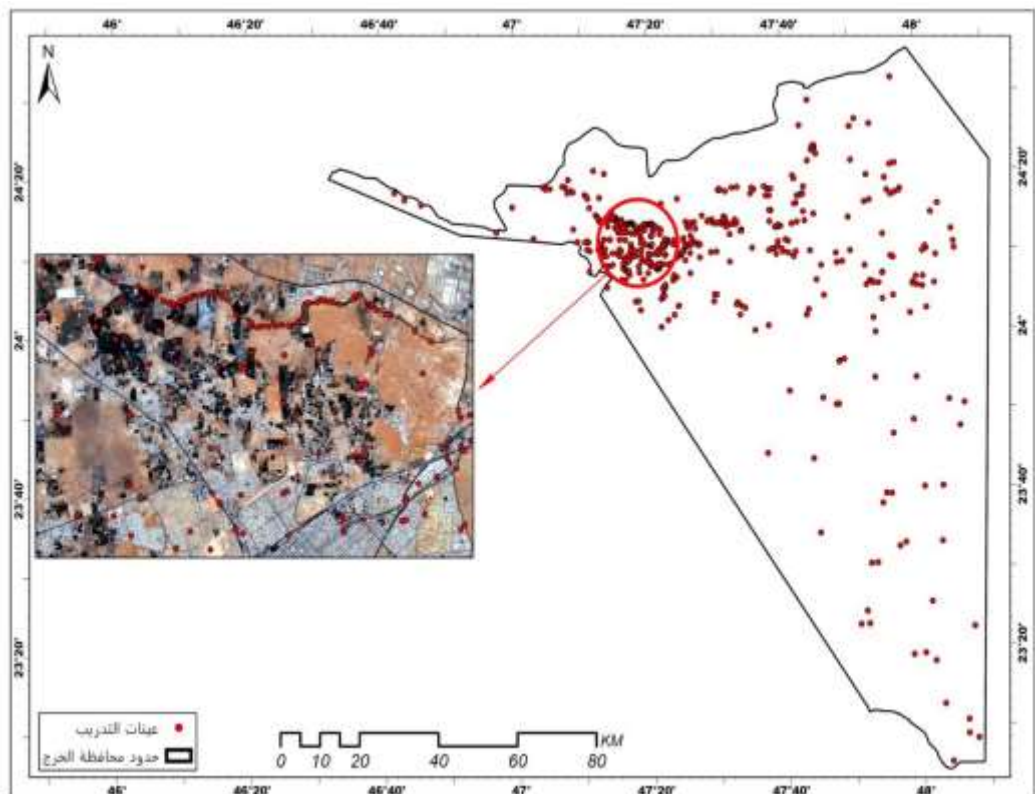
يستخدم أسلوب التصنیف الأفضل أداء سواء كان التصنیف المبني على الخلية أم التصنیف المبني على الهدف الجغرافي بالنموذج المعاير من المرئية الفضائية أو الأهداف الجغرافية المشتقة من المرئية في حالة التصنیف المراقب المبني على الهدف الجغرافي لاشتقاق استخدامات الأرض والغطاء الأرضي لكامل منطقة الدراسة.

جدول (٤) معامل الوزن المستخدم لكل نطاق في عملية التقسيم

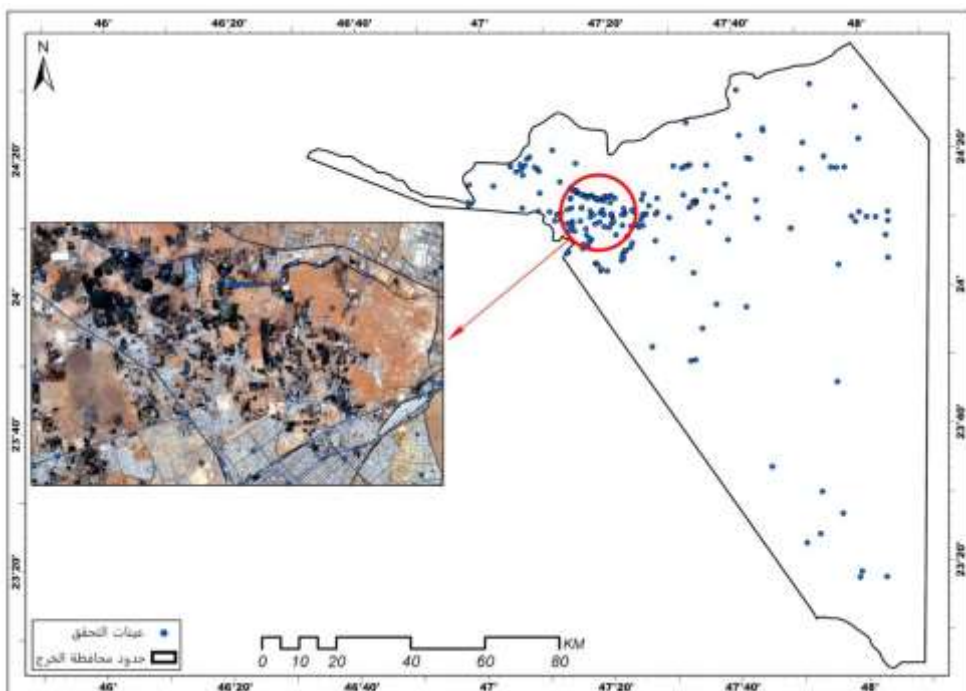
الوزان	النطاقات
1	النطاق ١ المرئي (الأزرق)
1	النطاق ٢ المرئي (الأخضر)
1	النطاق ٣ المرئي (الأحمر)
1	النطاق ٥ NIR تحت الحمراء القريبة
1	النطاق ٦ SWIR تحت الحمراء القصيرة
5	طبقة مؤشر النبات الفارقي المعياري (NDVI) Normalized Difference Vegetation
4	طبقة مؤشر المباني الفارقي المعياري (NDBI) Normalized Difference Built-up Index
4	طبقة مؤشر المياه الفارقي المعياري (NDWI) Normalized Difference Water Index

جدول (٥) المعاملات المعتمدة في عملية التقسيم

المعاملات	
0.4	معامل المقياس Scale
0.1	الشكل Shape
0.5	التركيز Compact



الشكل (٢) عينات التدريب العشوائية لمنطقة الدراسة.



الشكل (٣) عينات التحقق العشوائية لمنطقة الدراسة

النتائج والمناقشة

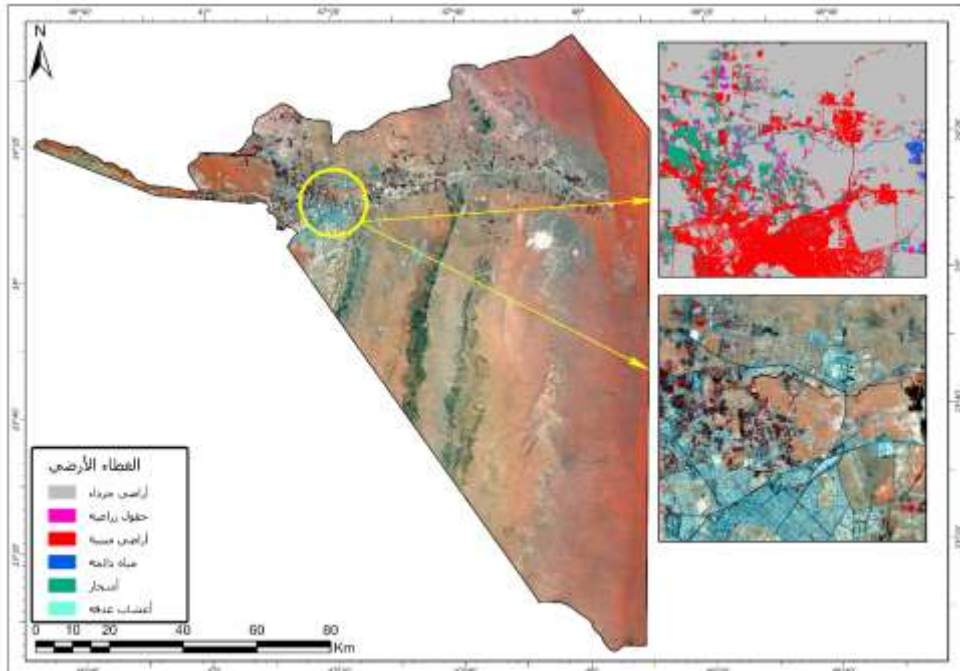
تم تقييم اداء التصنيف المراقب المبني على الخلية والبني على الهدف الجغرافي في تمييز استخدامات الأرض والغطاء الأرضي في محافظة الخرج بتقنية ذات مصداقية عالية من المرئيات الفضائية للقمر الصناعي Sentinel 2 بوضوح مكاني يبلغ 10 متر، وقد تم فحص جودة المرئيات الفضائية بصرياً قبل البدء بعمليات المعالجة والتحليل للتأكد من مدى جودتها وخلوها من الأعطال التقنية ، وسلامتها من تأثيرات الغلاف الغازي كالسحب والغيار، بالإضافة إلى ذلك تم فحص البيانات المصاحبة للمرئيات المعروفة بـ Metadata، ومن ثم أجريت عليها العديد من خطوات المعالجة الأولية قبل البدء بعملية التصنيف، كمصفوفة المرئيات Image Mosaic ، والاقطاع Subset ، وعملية تركيب النطاقات Band Stacking، بالإضافة للمؤشرات الطيفية Indices Spectral، لتصبح بعد ذلك المرئية جاهزة للتصنيف، حيث صنفت المرئية بأسلوب التصنيف المراقب بنوعية؛ المبني على الخلية(بيكسل) والمبني على الهدف الجغرافي. حيث تم جمع عينات الحفائق الأرضية من خلال المسح الميداني واستخدام برنامج Google Earth، ومن ثم تقسيمها الى عينات

التدريب والتحقق بواسطة Subset Feature بنسبة ٧٠% عينات التدريب الشكل(٢) و ٣٠% عينات التحقق الشكل(٣)، وباستخدام خوارزمية الغابة العشوائية Train Random Trees Classifier في برنامج ArcMap Pro، تم تصنیف المرئیة الفضائیة تصنیفاً مبنیاً على الخلیة (البیکسل) باستخدام الأداة Classify Raster، وكذلك تم تصنیف المرئیة بأسلوب التصنیف المبني على الهدف حيث يتم فيه تحويل خلایا المرئیة الى أهداف جغرافیة شکل مجموعه من الخلايا المتاجورة والمتشابهة في خصائصها الطيفیة والمکانیة، وكمراحة أولی في عملية التصنیف قسمت المرئیة الى أهداف باستخدام خوارزمیة التقسیم متعدد الوضوح Multi-resolution segmentation التي تعد من أفضل طرق التقسيم؛ وذلك لأنّها في الحسبان كل من الخصائص الطيفیة الموزونة، والخصائص المکانیة(الشكلیة) الموزونة والتي تتمثل في ترکز الهدف object compactness ونوعته smoothness أثناء اجراء العملية. وقد شكلت الأهداف الجغرافية الناتجة من عملية التقسيم وخصائصها الطيفیة والمکانیة المدخلات الأساسية لعملية التصنیف بخوارزمیة الغابة العشوائيه Random Forest التي تتفوق على غيرها من الخوارزمیات بالقدرة على استخدام عدد غير محدود من المتغيرات المستقلة independent (explanatory) variables لتغلبها على مشكلة تعدد الأبعاد multidimensionality problem ، التي تعانی منها بقیة خوارزمیات التصنیف، كما أن هذه الخوارزمیة تعطی تصنیفاً أكثر صحة accuracy وثبات، وبعد التأکد من ذلك تم تصنیف كامل أهداف المرئیة all image objects باستخدام نموذج الغابة العشوائيه Random Forest المعاير والخصائص الطيفیة والمکانیة للأهداف، ومن ثم عملت مجموعة من طرق المعالجة الثانوية لتحسين المنتج كالإذابة Dissolves ، والاستقصاء بالدمج Eliminate ، والتعمیم Smoothing ، وبعد استخراج التصنیف المناسب للغطاء الأرضی واستخدام الأرض ، واختیار التصنیف المناسب بعد التقيیم ، أتیجت قاعدة بيانات جغرافیة مکتملة للخصائص الفنیة والبيانات المکانیة لتكون کاملة التوثیق للاستخدام مستقبلاً في مختلف التطبيقات، في ظل عدم وجود تصنیف موحد للمملکة العربیة السعودية عدا التصنیف العالمي الذي اقتصر على عدد فئات اقل للمملکة. كما تم انتاج خریطة موضوعیة مکتملة العناصر الكارتوجرافیة لإبراز التصنیف الأمثل لاستخدام الأرض والغطاء الأرضی لمحافظة الخرج ضمن منطقه الرياض في المملكة العربیة السعودية.

تعتمد صحة وتفوق التصنیف المبني على الخلیة والمبني على الهدف على مدى ملائمة وموثوقیة البيانات الناتجة من عملية التصنیف للمرئیة بناء على المدخلات من المعاملات المدونة في جدول (٥) والأوزان الموضحة في جدول (٤) لتوافق حدودها بشكل كبير مع مركب الألوان الزائفة في جزء من منطقه الدراسة ممثله في محافظة الخرج حيث يلاحظ التطابق الكبير لحدود الفئات مع حدود الظاهره الجغرافیة بكافة فئات الظاهره قيد الدراسة

تحقيق إداء التصنيف المرافق المبني على الخلية والبني على الهدف الجغرافي في تمييز ...، أمل الأحمدى

الشكل (٤) (الأراضي الجرداة، الحقول الزراعية، الأرضيات المبنية، المياه الدائمة، الأشجار، الأعشاب الدقيقة). وكذلك يلاحظ من الشكل مناسبة أحجام الأهداف وعدم وجود أكثر من ظاهرة جغرافية في الهدف الواحد مما يشير إلى الموثوقية العالية لعملية تقسيم المرئية إلى أهداف جغرافية لتم عليها عملية التصنيف.



الشكل (٤) أشكال العينات الناتج عن عملية التصنيف بالمقارنة مع مركب الألوان الزائف، ومدى توافق حدود العينات مع حدود الظواهر الحقيقية على الأرض
أداء خوارزمية التصنيف للحقائق الأرضية:

١- أداء خوارزمية التصنيف المعاير على عينات التدريب على التصنيف المبني على الخلية:
تشير مصفوفة الخطأ Error Matrix المصنفة بالنموذج المعاير لعينات التدريب (جدول ٦) إلى أن ١٣٦ عينة من عينات الأرضي الجرداة قد تم تضمينها بشكل صحيح بينما واحدة تم تضمينها عن طريق الخطأ، حيث أن عدد عينات الأرضي الجرداة هي ١٣٧ عينة، بينما نجد أن فئة الحقول الزراعية بلغت ٨٠ عينة صحيحة وتم تضمين ٧٤ عينة على أنها حقول زراعية بينما ٦ عينات تم تضمينها عن طريق الخطأ إلى الفئات الأخرى، ونجد أيضاً أن فئة الأرضي المبنية تم تضمين ١٠٨ عينات على أنها أراضي

مبنيه وتم الارتباك في عينة واحدة فقط، ونجد ايضاً ان فئة المياه الدائمة قد تم تصنیف ٥٠ عینه على انها مياه دائمة من اصل ٥٣ عینه وتم الخطأ في ثلاث عینات من فئة الأرضي ٧٩ الجرداة والحقول الزراعية والأشجار، وكذلك نجد ان عینات فئة الأشجار قد تم تصنیف عینة على انها من فئة الأشجار و٨ عینات حدث ارتباك للمصنف فيها، بينما نجد ان فئة الأعشاب الغدقة تم تصنیف ٤٦ عینه منها بشكل صحيح و١٠ عینات بشكل خاطئ من مجموع عینات الفئة ٥٦ عینة وبالنسبة لمجمل الأهداف البالغ عددها ٥٢٢ عینة بمصفوفة الخطأ Error Matrix لعينات التدريب فقد صنف نموذج الغابة العشوائية Random Forest المعاير ٤٩٣ عینة بشكل صحيح، في حين تم تصنیف العینات المتبقية والبالغ عددها ٢٩ عینة بشكل خاطئ.

جدول (٦) مصفوفة الخطأ لعينات التدريب في التصنیف المبني على الخلية

الحائق الأرضية	أعشاب غدقة	أشجار	مياه دائمة	أراضي مبنيه (المباني والطرق)	حقول زراعية	أراضي جرداة	الواقع المستخدم
137	0	0	0	1	0	136	أراضي جرداة
80	0	1	1	0	74	4	حقول زراعية
109	0	0	0	108	0	1	أراضي مبنيه (المباني والطرق)
53	0	1	50	0	1	1	مياه دائمة
87	2	79	0	0	4	2	أشجار
56	46	3	6	0	1	0	أعشاب غدقة
المجموع							
522							

أداء خوارزمية التصنیف المعاير على عینات التتحقق في التصنیف المبني على الخلية:
اختلف الأداء لخوارزمية التصنیف على عینات التتحقق حيث انخفض نسبياً، وذلك لعدم تعرف الخوارزمية على عینات التتحقق من قبل أي خلال عملية التدريب، لذلك أصبح الأداء فيها أقل من الأداء على عینات التدريب، لذلك أصبح الأداء فيها أقل من أداء عینات التدريب، وهذا ما جعلها تمثل الفحص الحقيقي لأداء خوارزمية التصنیف لعينات استخدام الأرض والغطاء الارضي ((LULC)).

ومن خلال الجدول (٧) تبين لنا ان مصفوفة الخطأ Error Matrix التي تم تصنیفها بواسطه خوارزمية الغابة العشوائية Random Forest لعينات التتحقق تشير الى انه ٤٦ عینة من الأرضي الجرداة تم تصنیفها بشكل صحيح من مجمل ٤٦ عینه في الفئة، بينما نجد في فئة الحقول الزراعية قد تم تصنیف ٣٠ عینة بشكلها الصحيح و٦ عینات بشكل مخالف للواقع، وكذلك الحال في فئة الأرضي المبني قد تم تصنیف ٣٥ عینة بشكلها الصحيح من مجمل ٤١ عینة بينما ٦ عینات لم تصنف بالشكل الصحيح، وكذلك الحال في

فئة المياه الدائمة قد بلغ تصنیف العینات بشكل صحيح ٢٧ عینة و ٧ عینات تم تصنیفها بشكل غير صحيح، بينما نجد ان فئة الأشجار تم تصنیف ٢٨ عینة مطابقة للواقع و ١٢ عینة جاءت بخلاف الواقع، ونجد ايضاً ان فئة الأعشاب الغدقة تم تصنیف ١١ عینة بشكل صحيح بينما ١٥ عینة تم تصنیفها بشكل غير صحيح. وبالنسبة لمجمل العینات والبالغ عددها ٢٣ عینة بمصفوفة الخطأ Error Matrix لعینات التتحقق فقد صنف نموذج الغابة العشوائية Random Forest المعاير ١٧٧ عینة بشكل صحيح، في حين ان ٤٦ عینة قد تم تصنیفها بشكل غير صحيح.

جدول (٧) مصفوفة الخطأ لعینات التتحقق في التصنیف المبني على الخلية

الحقيقة الارضية	اعشاب غدقة	أشجار	مياه دائمة	أراضي مبنية (المباني والطرق)	حقول زراعية	أراضي جرداء	الواقع المستخدم	
							أراضي جرداء	حقول زراعية
46	0	0	0	0	0	46	أراضي جرداء	حقول زراعية
36	2	2	0	0	30	2	أراضي مبنية (المباني والطرق)	مياه دائمة
41	0	0	2	35	1	3	أشجار	أعشاب غدقة
34	5	1	27	0	1	0	المجموع	
40	2	28	0	0	10	0		
26	11	7	7	0	1	0		
223								

أظهرت نتائج مصفوفة الخطأ (Error Matrix) للتصنیف المبني على الخلية (البيكسل) في جدول (٨) وجدول (٩) أداءً جيداً بشكل عام في عینات التدريب، حيث تراوحت قيم الدقة النوعية (Precision)، والاستدعاء (Recall)، ودرجة F بين ٠.٨٢ و ٠.٩٩ عبر الفئات السنت وهي: الأراضي الجرداء، الحقول الزراعية، الأراضي المبنية، المياه الدائمة، الأشجار، والأعشاب الغدقة. وبلغت الدقة الكلية ٩٤٪ تقريباً، بينما كان المتوسط الكلي لمؤشرات الدقة النوعية والاستدعاء درجة F ١١ حوالي ٠.٩٤ و ٠.٩٣ على التوالي، في حين سجل المتوسط الموزون لهذه المؤشرات قيمة تقارب ٠.٩٤-٠.٩٥، مما يعكس مستوىً جيداً من الدقة داخل البيانات التدريبية مع وجود بعض التباين في التنبو بين الفئات. وفي عینات التتحقق، انخفض الأداء بشكل ملحوظ مقارنةً ببيانات التدريب، حيث بلغت الدقة الكلية نحو ٧٩٪، في حين كان المتوسط الكلي لكل من الدقة النوعية والاستدعاء درجة F ١١ حوالي ٠.٧٧، وبلغ المتوسط الموزون لهذه المؤشرات نحو ٠.٧٩، وهو ما يشير إلى أن النموذج حافظ على مستوىً مقبول من التعميم رغم الانخفاض الملحوظ. من حيث دقة الفئات، حافظت فئة الأرضي الجرداء على أفضل أداء ببلوغ درجة F ١١

مقدارها ٩٥٪ مع استدعاء كامل (١٠٠٪)، بينما أظهرت الفئات الأخرى تقاوياً واضحاً، إذ جاءت فئات مثل الأراضي المبنية بأداء مرتفع نسبياً، في حين سجلت الحقول الزراعية والمياه الدائمة والأشجار أداءً متوسطاً. وقد كانت فئة الأعشاب الغدقة الأضعف أداءً حيث حققت أدنى القيم في الدقة النوعية والاستدعاء ودرجة F1، مما يعكس تحديات في التنبؤ الدقيق لهذه الفئة.

جدول (٨) مقاييس الصحة لعينات التدريب في التصنيف المبني على الخلية

الحائق الارضية	F1-Score (الصحة المتوازنة)	Recall الاستدعاء	Precision الدقة	مقاييس الصحة الغطاء الارضي
137	0.97	0.99	0.94	أراضي جرداء
80	0.93	0.93	0.93	حقول زراعية
109	0.99	0.99	0.99	أراضي مبنية (المباني والطرق)
53	0.91	0.94	0.88	مياه دائمة
87	0.92	0.91	0.94	أشجار
56	0.88	0.82	0.96	أعشاب غدقة
522	0.93	0.93	0.94	المتوسط الفعلى
522	0.94	0.94	0.95	المتوسط الموزون

جدول (٩) مقاييس الصحة لعينات التتحقق في التصنيف المبني على الخلية

الحائق الارضية	F1-Score (الصحة المتوازنة)	Recall الاستدعاء	Precision الدقة	مقاييس الصحة الغطاء الارضي
46	0.95	1.00	0.90	أراضي جرداء
36	0.76	0.83	0.70	حقول زراعية
41	0.92	0.85	1.00	أراضي مبنية (المباني والطرق)
34	0.77	0.79	0.75	مياه دائمة
40	0.72	0.70	0.74	أشجار
26	0.48	0.42	0.55	أعشاب غدقة
223	0.77	0.77	0.77	المتوسط الفعلى
223	0.79	0.79	0.79	المتوسط الموزون

أداء خوارزمية التصنيف المعاير على عينات التدريب في التصنيف المبني على الهدف:

تشير بيانات مصفوفة الخطأ Error Matrix المصنفة بالنموذج المعاير لعينات التدريب في جدول رقم (١٠) ان جميع أهداف الفئات قد تم تصنيفها بشكل صحيح، حيث بلغ مجمل عدد الأهداف ٥٢٢ هدف وهذا يمثل العدد الصحيح لمجموع اهداف عينات التدريب المصنفة بحسب نموذج الغابة العشوائية Random Forest.

تحقيق أداء التصنيف المراقب المبني على الخلية والبني على الهدف الجغرافي في تمييز ...، أمل الأحمراء

أداء خوارزمية التصنيف المعاير على عينات التحقق في التصنيف المبني على الهدف:
من خلال رقم (١١) يتبيّن لنا من مصفوفة الخطأ Error Matrix المصنفة بحسب نموذج الغابة العشوائية Random Forest المعاير لعينات التحقق قد تم تصنفيها على النحو التالي:

- فئة الأراضي الجرداً تم تصنفي كافة الأهداف بالشكل الصحيح حيث بلغ عدد الأهداف ٤٦ هدفاً.
- فئة الحقول الزراعية تم تصنفي ٢٦ هدفاً بشكل صحيح بينما ١٠ أهداف تم تصنفيها بشكل غير صحيح من مجمل الأهداف ٣٦ هدفاً في هذه الفئة.
- فئة الأراضي المبنية نجد أن النموذج قد صنف ٣٨ هدفاً كما هو في الواقع بينما ٣ أهداف تم تصنفيها بشكل غير صحيح.
- فئة المياه الدائمة بلغ عدد الأهداف المصنفة بشكل صحيح ١٩ هدفاً، بينما بلغ عدد الأهداف المصنفة بشكل غير صحيح ١٥ هدفاً من مجمل عدد الأهداف البالغ ٣٤ هدفاً.
- فئة الأشجار تم تصنفي ٣٤ هدفاً بشكل صحيح ومماثل للواقع، في حين ان ٦ من الأهداف تم تصنفيها بشكل غير صحيح من اجمالي عدد الأهداف البالغ ٤٠ هدفاً.
- فئة الأعشاب الغدقة تم تصنفي ١٠ اهداف بالشكل الصحيح، بينما ١٦ هدفاً تم تصنفيها بشكل غير صحيح من مجمل عدد الأهداف البالغ ٢٦ هدفاً.

اما بالنسبة لمجمل الأهداف في عينات التتحقق والبالغ عددها ٢٢٣ هدفاً بمصفوفة الخطأ Error Matrix فقد صنف نموذج الغابة العشوائية Random Forest المعاير ١٧٣ هدفاً بشكل صحيح، في حين ان ٥٠ هدفاً قد تم تصنفيها بشكل غير صحيح.

جدول (١٠) مصفوفة الخطأ لعينات التدريب في التصنيف المبني على الهدف

الواقع المستخدم	أراضي جرداً	حقول زراعية	أراضي مبنية (المبني والطرق)	مياه دائمة	أشجار	أعشاب غدقة	الحقائق الأرضية
137	0	0	0	0	0	137	أراضي جرداً
80	0	0	0	0	80	0	حقول زراعية
109	0	0	109	0	0	0	أراضي مبنية (المبني والطرق)
53	0	0	0	53	0	0	مياه دائمة
87	0	87	0	0	0	0	أشجار
56	56	0	0	0	0	0	أعشاب غدقة
522				المجموع			

جدول (١١) مصفوفة الخطا لعينات التحقق في التصنيف المبني على الهدف

الحائق الارضية	اعشاب غدقة	أشجار	مياه دائمة	أراضي مبنية (المباني والطرق)	حقول زراعية	أراضي جرداء	الواقع المستخدم
46	0	0	0	0	0	46	أراضي جرداء
36	0	8	0	0	26	2	حقول زراعية
41	0	1	0	38	0	2	أراضي مبنية (المباني والطرق)
34	12	1	19	0	2	0	مياه دائمة
40	3	34	0	0	3	0	أشجار
26	10	4	7	1	4	0	أعشاب غدقة
223				المجموع			

أظهرت نتائج مصفوفة الارتباك في جدول (١٢، ١٣) للتصنيف الهدفي Object-Based Classification أداءً مثالياً في مجموعة التدريب، حيث بلغت قيم الدقة النوعية (Precision)، والاستدعاء (Recall)، ودرجة F لجميع الفئات الست (الأراضي الجرداء، الحقول الزراعية، الأراضي المبنية، المياه الدائمة، الأشجار، الأعشاب الغدقة) القيمة الكاملة (١.٠٠)، مما يشير إلى قدرة النموذج على التمييز الدقيق بين الفئات دون أي خطاء ضمن بيانات التدريب. كما بلغت الدقة الكلية، والمتوسط الكلي، والمتوسط الموزون للمؤشرات أيضاً القيمة ١.٠٠، وهو ما يعكس أداءً مثالياً داخل العينة التدريبية. في المقابل، انخفض الأداء في مجموعة التتحقق، حيث سُجلت الدقة الكلية ما يقارب ٪٧٧، بينما بلغ المتوسط الكلي لكل من الدقة النوعية والاستدعاء درجة F ١١ حوالى ٪٧٥ و ٪٧٤ و ٪٧٣ و ٪٧٧ على التوالي، في حين بلغ المتوسط الموزون لذاك المؤشرات نحو ٪٧٧. وقد أظهر النموذج أداءً جيداً في تمييز فئات مثل الأراضي الجرداء، الحقول الزراعية، والأراضي المبنية، بينما كانت دقة التنبؤ أقل نسبياً في فئتي المياه الدائمة والأشجار. وسُجلت أضعف النتائج في فئة الأعشاب الغدقة، حيث حصلت على أقل قيم في مؤشرات التقييم الثلاثة، مما يدل على حاجة هذه الفئة إلى تعزيز في عدد العينات أو إدخال مزيد من الخصائص التمييزية لتحسين تصنيفها.

جدول (١٢) مقاييس الصحة لعينات التدريب في التصنيف المبني على الهدف

الحقائق الارضية	F1-Score الصحة (المتوازنة)	Recall الاستدعاء	Precision الدقة	مقاييس الصحة	
				الغطاء الارضي	أراضي جراء
137	1.00	1.00	1.00		أراضي زراعية
80	1.00	1.00	1.00		أراضي مبنية (المباني والطرق)
109	1.00	1.00	1.00		مياه دائمة
53	1.00	1.00	1.00		أشجار
87	1.00	1.00	1.00		أعشاب غدقة
56	1.00	1.00	1.00		المتوسط الفعلى
522	1.00	1.00	1.00		المتوسط الموزون
522	1.00	1.00	1.00		

جدول (١٣) مقاييس الصحة لعينات التحقق في التصنيف المبني على الهدف

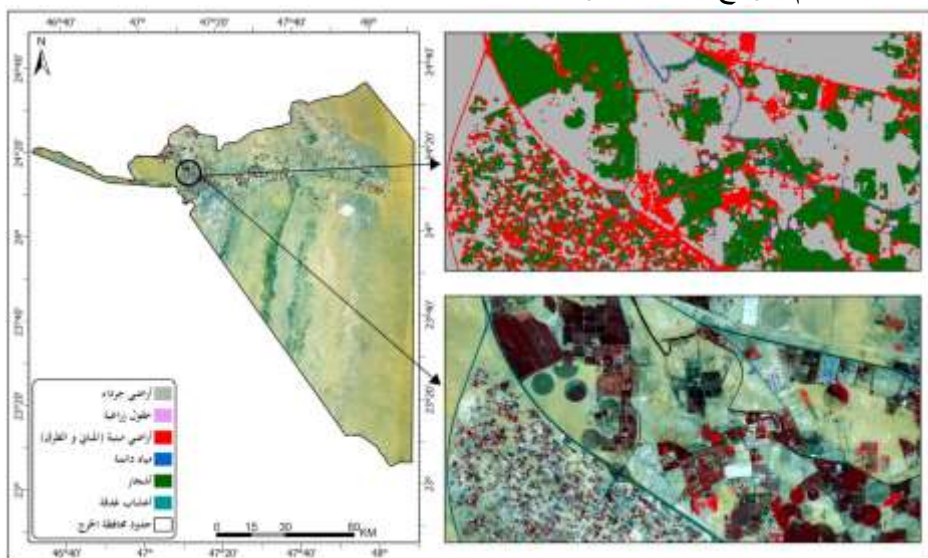
الحقائق الارضية	F1-Score الصحة (المتوازنة)	Recall الاستدعاء	Precision الدقة	مقاييس الصحة	
				أراضي جراء	أراضي زراعية
46	0.96	1.00	0.92		أراضي مبنية (المباني والطرق)
36	0.73	0.72	0.74		مياه دائمة
41	0.95	0.93	0.97		أشجار
34	0.63	0.56	0.73		أعشاب غدقة
40	0.77	0.85	0.71		المتوسط الفعلى
26	0.39	0.38	0.40		المتوسط الموزون
223	0.74	0.74	0.75		
223	0.77	0.78	0.77		

عند مقارنة نتائج مصفوفي الارتباط للطريقتين، يتضح أن التصنيف الهدفـي (Object-Based Classification) حق أداء أعلى من التصنيف بالبيكسل (Pixel-Based Classification) سواء في مرحلة التدريب أو التتحقق. فقد بلغ الأداء في التصنيف الهدفـي فيما أعلى في بيانات التدريب لجميع الفئات من حيث الدقة النوعية والاستدعاء ودرجة F، في حين بلغت القيم في التصنيف بالتصنيف بالبيكسل مستويات جيدة لكنها أقل نسبياً، إذ تراوحت ما بين ٠.٩٩ و ٠.٨٢ في التدريب مع دقة كلية بلغت نحو ٩٤%. أما في مرحلة التتحقق، فقد حافظ التصنيف الهدفـي على دقة كلية قدرها ٧٧% تقريباً مع متوسطات مقبولة

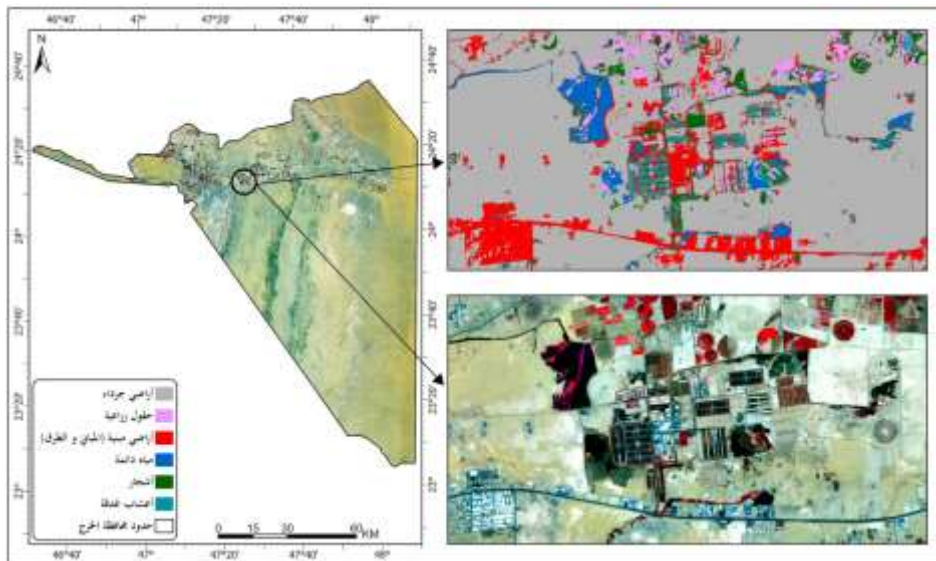
لمؤشرات التقييم، بينما سجل التصنيف بالبيكسل دقة كلية أقل نسبياً بنحو ٧٩٪ مع انخفاض ملحوظ في بعض الفئات، خاصة فئة الأعشاب الغدقة التي أظهرت أضعف النتائج في الطريقتين، لكنها كانت أفضل نسبياً في التصنيف الهدفي مقارنة بالبيكسل.

نظهر النتائج أن التصنيف المبني على الخلية كما في الشكل(٥) كان ذاتاً موثوقية لابأس بها وقد تم تصنیف الخريطة بالتطابق الكبير مع المرئية الأساسية الهدفي وكذلك نجد أن التصنيف المبني على الهدف كما في الشكل (٦) يتميز بقدرته على التعامل بفعالية أكبر مع التباين المكاني والمعالم المتباينة، مما يتتيح للنموذج تمييز الفئات بناءً على خصائص الكائن كل وليس بناءً على وحدات البيكسل المفردة، وهو ما يقلل من الضوضاء ويحسن الدقة العامة. في المقابل، يعني التصنيف بالبيكسل من تأثيره بالتشابه الطيفي بين الفئات المجاورة مما قد يؤدي إلى زيادة الأخطاء خاصةً في الفئات ذات التداخل مثل الأعشاب الغدقة.

ومما يجدر الإشارة إليه أن القيم الناتجة عن حساب المؤشرات جيدة للغاية وعالية الموثوقية سواء كانت مصفوفة الخطأ Error Matrix للعينات التي تم التدريب عليها أو مصفوفة الخطأ Error Matrix لعينات التتحقق، مما يعني أن هناك دقة في التصنيف الموجه لاستخدامات الأرض والغطاء الأرضي بنوعية المبني على الخلية(البيكسل) والمبني على الهدف باستخدام نموذج الغابة العشوائية Random Forest



شكل (٥) التصنيف المبني على الخلية باستخدام خوارزمية الغابة العشوائية Random Forest



شكل (٦) التصنيف المبني على الهدف باستخدام خوارزمية الغابة العشوائية Random Forest

الخاتمة والتوصيات:

جرى في هذه الدراسة تقييم أداء التصنيف المبني على الخلية والمبني على الهدف الجغرافي لاستخدام الأرض والغطاء الأرضي في محافظة الخرج بأسلوب تقني يتمثل في مصنف الغابة العشوائية Random Forest الذي يُشكّل أبرز أدوات التعلم الآلي الخاضعة للأشراف والذي يقوم على إنشاء العديد من أشجار القرار Decision tree ، واختبار مجموعات فرعية عشوائية من المتغيرات لكل شجرة واعتماد مخرجات الشجرة الأكثر شيوعاً كتصنيف شامل، وقد أعطت هذه العملية نتائج جيدة تم فحصها بصرياً وكمياً من خلال مجموعة من مؤشرات صحة التصنيف التي من ابرزها الصحة الشاملة Overall Accuracy والدقة F1-Score والصحة المتوازنة Recall والصحة المترادفة Precision من مدى دقة التصنيف، وذلك من أجل إيجاد تصنيف موحد للفئات في المملكة العربية السعودية وذلك لعدم وجود تصنيف عدا التصنيف العالمي العام وبناء على الأداء العالي لخوارزمية الغابة العشوائية Random Forest في جودة مخرجات التصنيف كما يتضح من النتائج السابقة الذكر، فضلاً عن القيم العالية لمؤشرات صحة التصنيف فإن الدراسة توصي بما يلي:

- ١- المساهمة في إنشاء تصنيف خاص للمملكة العربية السعودية يعتمد على التصنيف الهدفى وذلك لجودة مخرجانه.
- ٢- عمل خريطة مصنفة لجميع مناطق المملكة العربية السعودية واستحداث فئات تصنيف مناسبة حسب جغرافية المملكة العربية السعودية .

المصادر والمراجع:

الجعدي، فرحان حسين (٢٠١٩). أقليم الخرج. مكتبة الملك فهد الوطنية. الرياض.
العمران، علي إبراهيم (٢٠١٢). مقدمة في الاستشعار عن بعد ومعالجة الصور رقمياً. دار
وجوه للنشر والتوزيع. الرياض.

Al-Bilbisi, H. & Makhamreh, Z. (2010). A comparison of pixel-based and object-based classification approaches in arid and semi-arid areas of Dead Sea region using Landsat imagery. *Dirasat: Human and Social Sciences*. 3.

Araya, Y., & Hergarten, C., (2008). A comparison of pixel and object-based land cover classification: a case study of the Asmara region, Eritrea. 233-243. 10.2495/GEO080231.

Blaschke, T., G. J. Hay, M. Kelly, S. Lang, P. Hofmann, E. Addink,& R. Q. Feitosa(2014). “ISPRS Journal of Photogrammetry and Remote Sensing Geographic Object-Based Image Analysis – Towards a New Paradigm.” *ISPRS Journal of Photogrammetry and Remote Sensing* 87: 180–191. doi:10.1016 / j.isprsjprs.2013.09.014.

Chen,RenxiLi, Xinhui, Li, &Jonathan.(2018).Object-based features for house detection from rgb high-resolution images.*Remote Sensing*,10.3,451.

Congalton,G.,& Green, k., (2019) Assessing the Accuracy of Remotely Sensed Data Principles and Practices, Third Edition. 348 Pages.

Dervisoglu, A., Bilgilioğlu, Bahar & Yağmur, Nur. (2020). Comparison of Pixel-Based and Object-Based Classification Methods in Determination of Wetland Coastline. *International*

- Journal of Environment and Geoinformatics. 7. 213-220.
10.30897/ijegeo.713307.
- Dezhi, W., Id, B., Wan, Qiu, P., Su, Y., Guo, Q., & Wu, Xincai. (2018). Artificial Mangrove Species Mapping Using Pléiades-1: An Evaluation of Pixel-Based and Object-Based Classifications with Selected Machine Learning Algorithms. *Remote Sensing*. 10. 10.3390/rs10020294.
- Dong-dong,Z., Lei,Z., Vladimir,Z.,Feng,X.,Yan-wen,W.,&Tingting,L..(2019). Research on the pixel-based and object-oriented methods of urban feature extraction with GF-2 remote-sensing images. *Environmental Science, Computer Science*, 10.2583-2606.
- Duhamel, C. (1995). Programme télédétection et statistique. Cadre de travail statistique utilisation des sols. Draft. Eurostat/CESD-Communautaire, Luxembourg.
- Guo, L., Xiaohuan, X., Weijun Y., & Lei, L.. (2021). "Monitoring Land Use/Cover Change Using Remotely Sensed Data in Guangzhou of China" *Sustainability* 13, no. 5: 2944.
- Hamad,R.:(2020): an assessment of artificial neural networks, support vector machines and decision trees for land cover classification using sentinel-2A data, *Sciences* 8 (6) (2020) 459–464.
- Hu,L., Na,Li & Shengrong,Z.,(2021)Salt and Pepper Noise Removal Method Based on a Detail-Aware Filter. *Symmetry* 2021, 13, 515
- Iqbal, M.F., Khan, I.A., 2014. Spatiotemporal land use land cover change analysis and erosion risk mapping of Azad Jammu and Kashmir, Pakistan. *Egypt. J. Remote Sens. Space Sci.* 17,209–29.
- Karakus, P., Karabork, H.,& Kaya, S., (2017) .A Comparison of the Classification Accuracies in Determining the Land Cover of

- Kadirli Region of Turkey by Using the Pixel Based and Object Based Classification Algorithms. . *International Journal of Engineering and Geosciences.* 2. 52-60. 10.26833/ijeg.298951.
- Lillesand, T., Kiefer, R. W., & Chipman, J. (2015). *Remote Sensing and Image Interpretation*. Wiley.
- Ming, D.; Zhou, T.; Wang, M.; Tan, T. (2016). Land cover classification using random forest with genetic algorithm-based parameter optimization. *J. Appl. Remote Sens.*, 10,035021
- Rawat, J.S.,& Kumar, M.,:(2015). Monitoring land use/cover change using remote sensing and GIS techniques: a case study of Hawalbagh block, district Almora, Uttarakhand, India. Egypt. *J. Remote Sens. Space Sci.* 18, 77–84.
- Sandipta,D.,&Dasharatha ,P.,(2022). Land use land cover change detection and monitoring of urban growth using remote sensing and GIS techniques: a micro-level study:Springer.*Geojournal*87(1):1-23.
- Soe,W., Patricia,G., Anthony,B., Susanne,G.,&Qihao,W.,(2011)Pixel vs.object-based classification of urban land cover extraction using high spatial resolution imagery.*Remote Sevsing of Environment*,15,1145-1161.
- Xiaoxia, S., Jixian, Z. & Liu, Z.: (2005). A Comparison of Object-Oriented and Pixel-Based Classification Approchs USING Quickbird Imagery.
- Yi zou ,Jonathan A.Greenberg.(2019). A spatialized classification approach for land cover mapping using hyperspatial imagery.*Remote Sensing of Environment*.volume 232.111248.

Zhang, Jingxiao & Jia, Li. (2014). A comparison of pixel-based and object-based land cover classification methods in an arid/semi-arid environment of Northwestern China. 3rd International Workshop on Earth Observation and Remote Sensing Applications, EORSA 2014 - Proceedings. 403-407. 10.1109/EORSA.2014.6927922.

الموقع والمنشورات الالكترونية:
منشورات بلدية محافظة الخرج، ٢٠٢٢

<https://sentiwiki.copernicus.eu/web/s2-mission>